

論文の内容の要旨

論文題目 Studies on the Photo-Regulation of DNA Duplex and Triplex Formation
(DNA 二重鎖および三重鎖形成の光制御に関する研究)

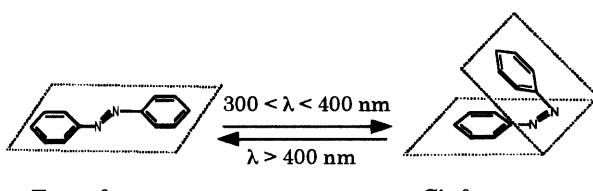
氏名

梁興国

1. 序論

外部刺激によって核酸機能を人工的に制御することは、バイオテクノロジーの更なる発展のみならず、生命現象の基礎的解析から医療への応用といった広範な分野への適用が可能な極めて重要な技術である。しかし、外部環境に敏感な生体系に対する可逆的な制御は困難な課題であり、これまで様々な方法が提案されているものの、未だに不十分である。また、温度や pH、イオン強度など影響を与えやすい条件を変化させると、制御を通り越して細胞系の機能が損なわれてしまうこともある。本研究では、外部刺激としてもっとも扱いやすく反応系を汚染しない「光」に注目し、核酸機能の可逆的な光制御を目指した。光照射により極性と立体構造が大きく変化する光応答性分子のアゾベンゼン (Scheme 1) を DNA オリゴヌクレオチドに導入し、

DNA 二重鎖および三重鎖の形成と解離の光制御に、世界で初めて成功した。さらに、NMR 解析によりアゾベンゼンを導入した修飾 DNA 二重鎖の構造を決定した。また、円二色性 (CD)、紫外吸収 (UV) スペクトルおよび熱力学分析の結果に基づき、光制御の機構を明らかにした。



Scheme 1. Photo-isomerization of azobenzene.

Trans-azobenzene is planar, while *cis*-azobenzene is non-planar.

2. アゾベンゼンの *cis-trans* 光異性化による DNA 二重鎖の形成と解離の光制御

様々な形で、アゾベンゼンをオリゴヌクレオチドに組み込んだ。まず、3 炭素リンカーとする光応答性分子 X^P_{Cs} (Scheme 2) を使用し、DNA 二重鎖形成と解離の光制御を検討した。修飾 DNA の 5'-CGAX P_{Cs} GTC-3' と相補鎖 DNA (3'-GCTCAG-5') との融解曲線を図 1 に示す。

UV 光照射前のアゾベンゼンは、ほとんど (>90%) が *trans* 体として存在し、二重鎖の T_m は 37.1°C であった。(同じ配列の天然 DNA 二重鎖 5'-CGAGTC-3' / 3'-GCTCAG-5' の T_m は 30.1°C である。) これに UV 光 ($300 \text{ nm} < \lambda < 400 \text{ nm}$) を照射すると、アゾベンゼンが *cis* 体に異性化すると共に、二重鎖の T_m は 10.0°C に下がった(図 1)。つまり、*cis-trans* 異性化による T_m の変化 (ΔT_m) は 27.1°C にも達した。上記の変化は可逆的であり、可視光 ($\lambda > 400 \text{ nm}$) を照射することにより再び *trans* 体に戻った。次に *trans* 体と *cis* 体の T_m の中間温度に保ちつつ、光照射 (UV 光或いは可視光) をすると、二重鎖の形成と解離に基づく 260 nm の吸光度の可逆的な変化が観察された。即ち、これらの事実から、温度、pH、イオン強度等の要因を一切変化させずに、特定波長の光照射のみで二重鎖の形成と解離を可逆的に制御できることが明らかとなった(図 2)。DNA 二重鎖の形成と解離を制御する際に、温度、イオン強度など生化学反応に影響を与えるやすいパラメーターを変化させなければならない従来法と比べ、この方法は極めて簡便である。

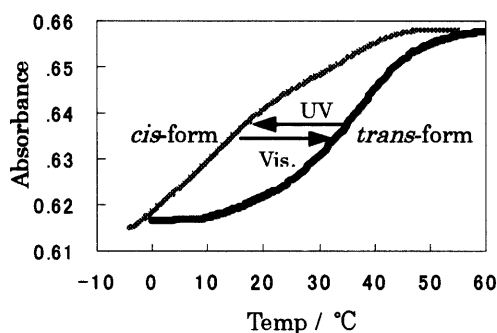
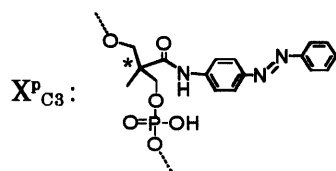


Figure 1. T_m curves of duplex 5'-CGAX P_{Cs} GTC-3' / 3'-GCTCAG-5'. (*trans*-form: black line, $T_{m, trans} = 37.1^\circ\text{C}$; *cis*-form: gray line, $T_{m, cis} = 10.0^\circ\text{C}$.) DNA 50 μM , NaCl 1 M, pH 7.0

次に、アゾベンゼンを様々な DNA 配列に導入し、*trans* 体と *cis* 体のそれぞれの二重鎖の T_m を測定した。その結果、すべての配列に対し、(1) *trans* 体の T_m は *cis*-体より 5~27°C 高い；(2) アゾベンゼンをピリミジン塩基間(例: …TXC…)に導入する場合の方が、プリン塩基間(例: …AXG…)に導入するより、 ΔT_m が大きいということが分かった。

3. NMR 等による二重鎖形成の光制御機構の解明

アゾベンゼンを導入した DNA の構造を解明するために、二重鎖



Scheme 2. Structure of *para*-aminoazobenzene unit (X^P_{Cs}) in modified oligonucleotides.

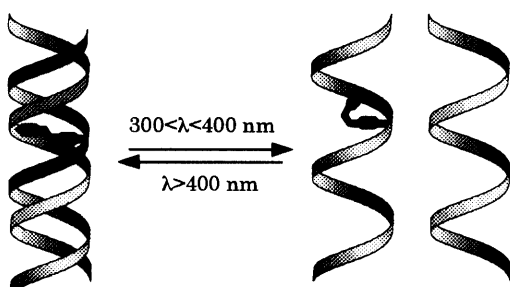
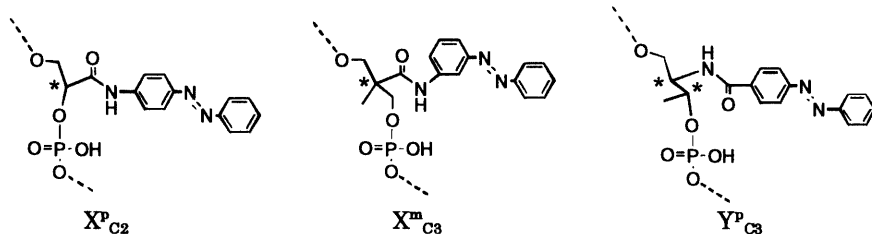


Figure 2. Schematic illustration of the photoregulation of duplex formation by using *cis-trans* photoisomerization of azobenzene moiety

5'-CGAX^p_{c3}GTC-3'/3'-GACX^p_{c3}TCG-3'のNOESY、COSY、およびHOHAHAの測定を行った。その結果、X^p_{c3}と隣接する塩基対のイミノプロトンのシグナルとtrans-X^p_{c3}のシグナルとの間に強いNOEが観察され、二重鎖形成によりtrans-アゾベンゼンは隣接する塩基対の間にインターラートしていることが分かった。NMR解析に加え、UV、CD、熱力学パラメーターの測定およびInsight II / Discover 98による二重鎖構造のSimulationを行い、光制御の機構を解明した。平面構造を持つtrans-アゾベンゼンは、DNA塩基対の間にインターラートし、スタッキングにより二重鎖を安定化する。一方、cis-アゾベンゼンは、非平面の構造を持つので、立体障害により二重鎖を不安定化する。従って、温度一定の条件下でUV光を照射すると、DNA二重鎖は解離し、再び可視光を照射すると、二重鎖は形成する。

4. より効率的な光制御を目指した光応答性DNAの設計

本章では、3章の知見をもとに、さらに優れた光応答性を示す修飾DNAを設計した。合成した新規の光応答性DNAの構造をScheme 3に示す。



Scheme 3. Structures of the azobenzene units in modified oligonucleotides.

今までの設計では、アゾベンゼンをインターラートとしてDNAに導入したため、修飾DNAが相補鎖より一塩基分長い。例えば、修飾DNAの5'-CCGA X^p_{c3}GTCG-3' (9mer)は、相補鎖の3'-CGACACGG- 5' (8mer)より長い。そこで、より短いリンカーのグリセリン酸を介し、X^p_{c2} (Scheme 3) をDNAに導入した。その光制御能を調べた結果、X^p_{c2}はX^p_{c3}と比べ、光異性化による ΔT_m が4~12°C増大し、より効率的な光制御が実現した。

厳密に光制御するためには、アゾベンゼンのcis→trans熱異性化を抑制する必要がある。そこで、meta-アミノアゾベンゼン(X^m_{c3}, Scheme 3)をpara-アミノアゾベンゼン(X^p_{c3})の代わりにDNAに導入した。その結果、cis-X^p_{c3}の熱異性化の半減期(37°C)が1時間であったのに対し、cis-X^m_{c3}の半減期は64時間となり、熱異性化を顕著に抑えることに成功した。しかし、T_mを測定した結果、X^m_{c3}の光制御能は、X^p_{c3}より若干低くなった。キラルなトレオニノールリンカーとカルボクシルアゾベンゼン(Y^p_{c3}, Scheme 3)を使用することによって、熱に安定で(37°Cで、cis体の半減期は約30時間)、しかも、光制御効率の良い光応答性DNAの合成に成功した。

5. RNA/DNA二重鎖の形成と解離の光制御

Antisense法による遺伝子発現の光制御を目指し、アゾベンゼンを導入した光応答性DNAとnativeのRNAを用いて、RNA/DNA二重鎖の光制御を行った。その結果、二重鎖：5'-TT X^p_{c3}TTTTT-3'/rA₈の場合は、アゾベンゼンのcis→trans光異性化により最大21.6°C

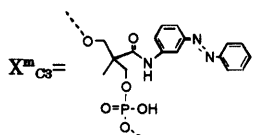
の ΔT_m が得られた。即ち、RNA/DNA 二重鎖の形成と解離の光制御にも成功した。また、RNA/DNA 二重鎖の場合、修飾 DNA の光制御能は、DNA 二重鎖の場合と比べ、配列に大きく依存することも分かった。

6. DNA 三重鎖形成と解離の光制御

アゾベンゼンを DNA 三重鎖の third strand に導入し、その三重鎖形成の光制御能を調べた。修飾 DNA と Duplex target の配列を図 3 に示す。*trans* 体の *m*-アゾベンゼンを含む三重鎖 $X^m_{Cs}T_{13}/a/t$ の T_m は 30.2°C であるに対し、*cis* 体の T_m は 10.7°C であった (native の三重鎖 $T_{13}/a/t$ の T_m は 22.5°C である)。アゾベンゼンの *cis-trans* 光異性化による三重鎖の T_m 変化 (ΔT_m) は、19.5°C であった (図 3)。このように、可逆的な DNA 三重鎖の形成と解離の光制御にも成功した。

Duplex target a/t:

a: 5'-CGTCGGTTT-aaaaaaaaaaaaaa-TTTCGTGGC-3'
t: 3'-GCAGCCAAA-tttttttttt-AAAGCACCG-5'



Modified third strands:^{a)}

$X^m_{Cs}T_{13}$: 5'- $X^m_{Cs}TTTTTTTTTTTTT-3'$

$T_6X^p_{Cs}T_7$: 5'-TTTTTT $X^p_{Cs}TTTTTTT-3'$

$X^p_{Cs}T_6X^p_{Cs}T_7$: 5'- $X^p_{Cs}TTTTTT X^p_{Cs}TTTTTTT-3'$

^{a)} Structures of them are shown in Scheme 1, and 3.

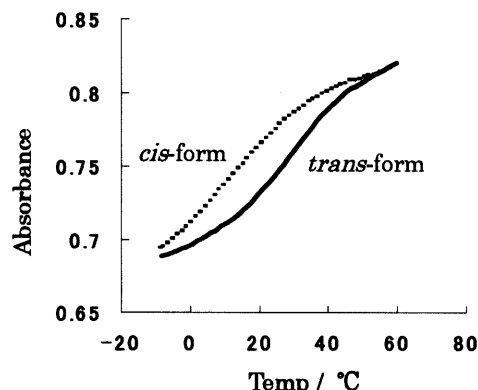


Figure 3. Sequences of duplex target and some modified oligonucleotides (Left) and the melting curves of triplex *trans*- $X^m_{Cs}T_{13}/a/t$ (—) and *cis*- $X^m_{Cs}T_{13}/a/t$ (···) (Right). 2.0 μ M DNA, 0.2 M $MgCl_2$, pH 7.0 (10 mM HEPES). T_m (s) of *trans*- $X^m_{Cs}T_{13}/a/t$ and *cis*- $X^m_{Cs}T_{13}/a/t$ are 30.2 °C and 10.7 °C, respectively ($\Delta T_m = 19.5$ °C).

より効率的な光制御（より大きい ΔT_m ）のために、種々の検討を行った。パラアゾベンゼン (X^p_{Cs}) の場合は、導入位置が DNA 配列の 5'から遠くなる程、 ΔT_m が大きくなつた。即ち、アゾベンゼンを DNA 配列の真中に導入する場合（例： $T_6X^p_{Cs}T_7/a/t$ ）、 ΔT_m は 30°C を越え、最も大きくなつた。また、二つアゾベンゼンを導入した $X^p_{Cs}T_6X^p_{Cs}T_7/a/t$ 三重鎖の ΔT_m は約 50°C もあつた。さらに、アゾベンゼンの代わりに、フェニルアゾナフタレンを使用することで、ほぼ完全な三重鎖の形成と解離の光制御に成功した。最後に、三重鎖形成の光制御の機構および X^p_{Cs} 、 X^m_{Cs} 、 X^n_{Cs} などの光制御能の違いの原因についても検討した。

7. 結論

アゾベンゼンなどを導入した光応答性核酸を用いて、*cis-trans* 光異性化により二重鎖あるいは三重鎖の形成と解離を光照射のみで制御することに成功した。また、*trans* 体アゾベンゼンは Stacking により二重鎖（三重鎖）を安定化し、*cis* 体は立体障害により二重鎖（三重鎖）を不安定化するという光制御機構を NMR、CD、UV などの解析により解明した。また既に、この現象を利用することで、ポリメラーゼ反応の光制御にも成功している。